

УДК 539.3

## РАЗВИТИЕ МЕТОДА ГРАНИЧНЫХ ЭЛЕМЕНТОВ ДЛЯ РЕШЕНИЯ ПРОБЛЕМЫ РАСПРОСТРАНЕНИЯ ВОЛН В ПОРИСТЫХ СРЕДАХ<sup>\*)</sup>

**А.В. Аменицкий, Л.А. Игумнов, И.С. Карелин**

*Нижний Новгород*

Рассматривается модель пористой среды с двухфазной внутренней структурой, предложенная Био. Представлены соответствующие граничные интегральные уравнения и гранично-элементная методика их решения. Приведен численный пример.

### Введение

Для решения проблемы распространения волн в пористых средах разработана модель среды Био [1–4]. Теоретические исследования свойств двух типов предельных волн в двухфазной среде далеки от завершения [5–7]. К подобным исследованиям привлекаются метод граничных интегральных уравнений (ГИУ) и метод граничных элементов (МГЭ) [7, 8]. На основе ГИУ из [8, 9] в работе построена суперэлементная МГЭ-схема в отличие от изопараметрической из [8, 9]. Приведен численный пример.

### 1. Математическая модель пороупругой среды

Система дифференциальных уравнений в преобразованиях Лапласа (параметр  $s$ ) для смещения  $\hat{u}_i$  и порового давления  $\hat{p}$  имеет следующий вид [8]:

$$\mu \hat{u}_{i,jj} + \left( K + \frac{1}{3} \mu \right) \hat{u}_{j,ij} - (\alpha - \beta) \hat{p}_{,i} - s^2 (\rho - \beta \rho_f) \hat{u}_i = -\hat{F}_i,$$

$$\frac{\beta}{s \rho_f} \hat{p}_{,ii} - \frac{\phi^2 s}{R} \hat{p} - (\alpha - \beta) s \hat{u}_{i,i} = -\hat{a}; \quad \beta = \frac{k \rho_f \phi^2 s^2}{\phi^2 s + s^2 k (\rho_a + \phi \rho_f)},$$

где  $\mu, K$  – константы упругости;  $\phi$  – пористость;  $k$  – проницаемость;  $\alpha$  – эффективный коэффициент напряжений;  $\rho, \rho_a, \rho_f$  – плотности пористого скелета, присоединенной массы и жидкой среды;  $\hat{F}_i, \hat{a}$  – плотности источников,  $R$  – плотность источников в жидкости.

Систему уравнений пороупругости запишем в символической матричной форме

$$B^*(\partial) \mathbf{v} = 0, \quad \mathbf{v} = [u, p]^T.$$

<sup>\*)</sup> Работа выполнена при поддержке Министерства образования и науки РФ (грант Президента РФ для государственной поддержки ведущих научных школ РФ НШ-3367.2008.8, проект РПН.2.1.23556 по Аналитической ведомственной целевой программе Рособразования "Развитие научного потенциала высшей школы на 2006–2008 годы").

Фундаментальное решение для этой системы построено в [8]:

$$B(\partial)G + I\delta(x - y) = 0,$$

где  $I$  – единичная матрица,  $\delta$  – дельта-функция Дирака,

$$B^* = \begin{bmatrix} A + B\partial_{11} & B\partial_{12} & B\partial_{13} & pC\partial_1 \\ B\partial_{12} & A + B\partial_{22} & B\partial_{23} & pC\partial_2 \\ B\partial_{13} & B\partial_{23} & A + B\partial_{33} & pC\partial_3 \\ C\partial_1 & C\partial_2 & C\partial_3 & D \end{bmatrix},$$

$$A = \mu\nabla^2 - p^2(\rho - \beta\rho_f), \quad B = K + \frac{1}{3}\mu, \quad C = \alpha - \beta, \quad D = \frac{\beta}{p\rho_f}\nabla^2 - \frac{\phi^2 p}{R},$$

$$\lambda_{1,2}^2 = \frac{1}{2} \left[ \frac{\phi^2 p^2 \rho_f}{\beta R} + \frac{p^2(\rho - \beta\rho_f)}{K + 4/3\mu} + \frac{p^2 \rho_f (\alpha - \beta)^2}{\beta(K + 4/3\mu)} \right] \pm$$

$$\pm \frac{1}{2} \sqrt{\left( \frac{\phi^2 p^2 \rho_f}{\beta R} + \frac{p^2(\rho - \beta\rho_f)}{K + 4/3\mu} + \frac{p^2 \rho_f (\alpha - \beta)^2}{\beta(K + 4/3\mu)} \right)^2 - 4 \frac{p^4 \phi^2 \rho_f (\rho - \beta\rho_f)}{\beta R (K + 4/3\mu)}},$$

$$\lambda_3^2 = \frac{p^2(\rho - \beta\rho_f)}{\mu},$$

$$\Psi = \frac{1}{4\pi r} \left[ \frac{e^{-\lambda_1 r}}{(\lambda_1^2 - \lambda_2^2)(\lambda_1^2 - \lambda_3^2)} + \frac{e^{-\lambda_2 r}}{(\lambda_2^2 - \lambda_1^2)(\lambda_2^2 - \lambda_3^2)} + \frac{e^{-\lambda_3 r}}{(\lambda_3^2 - \lambda_2^2)(\lambda_3^2 - \lambda_1^2)} \right],$$

$$G = \begin{bmatrix} \widehat{U}_{ij}^s & \widehat{U}_i^f \\ \widehat{P}_j^s & \widehat{P}^f \end{bmatrix} = \frac{p\rho_f}{\mu\beta(K + 4/3\mu)} \begin{bmatrix} (F\nabla^2 + AD)\delta_{ij} - F\partial_{ij} & -AC\rho\partial_i \\ -AC\partial_i & (B\nabla^2 + A)A \end{bmatrix} \Psi.$$

## 2. Граничные интегральные уравнения

Интегральное представление прямого подхода имеет вид [8]:

$$\begin{bmatrix} \widehat{u}_j \\ \widehat{p} \end{bmatrix} = \int_{\Gamma} \begin{bmatrix} \widehat{U}_{ij}^s & -\widehat{P}_j^s \\ \widehat{U}_i^f & -\widehat{P}^f \end{bmatrix} \begin{bmatrix} \widehat{t}_i \\ \widehat{q} \end{bmatrix} d\Gamma - \int_{\Gamma} \begin{bmatrix} \widehat{T}_{ij}^s & -\widehat{Q}_j^s \\ \widehat{T}_i^f & -\widehat{Q}^f \end{bmatrix} \begin{bmatrix} \widehat{u}_i \\ \widehat{p} \end{bmatrix} d\Gamma,$$

где

$$\widehat{U}_{ij}^s = \frac{1}{4\pi r \rho s^2} \left[ R_1 \frac{\lambda_4^2 - \lambda_2^2}{\lambda_1^2 - \lambda_2^2} e^{-\lambda_1 r} - R_2 \frac{\lambda_4^2 - \lambda_1^2}{\lambda_1^2 - \lambda_2^2} e^{-\lambda_2 r} + (\delta_{ij} \lambda_3^2 - R_3) e^{-\lambda_3 r} \right],$$

$$R_k = \frac{3r_j r_{j,j} - \delta_{ij}}{r^2} + \lambda_k \frac{3r_j r_{j,j} - \delta_{ij}}{r} + \lambda_k^2 r_j r_{j,j},$$

$$\lambda_4^2 = \frac{s^2 \rho}{K + 4/3\mu},$$

$$\widehat{P}_j^s = \frac{\alpha r_{,i}}{4\pi r \kappa (K + 4/3\mu) (\lambda_1^2 - \lambda_2^2)} \left[ \left( \lambda_1 + \frac{1}{r} \right) e^{-\lambda_1 r} - \left( \lambda_2 + \frac{1}{r} \right) e^{-\lambda_2 r} \right],$$

$$\begin{aligned}
\widehat{U}_i^f &= \left(1 - \frac{s\rho_f \kappa}{\alpha}\right) s\widehat{P}_i^s, \\
\widehat{P}^f &= \frac{1}{4\pi r \kappa (\lambda_1^2 - \lambda_2^2)} [(\lambda_1^2 - \lambda_4^2)e^{-\lambda_1 r} - (\lambda_2^2 - \lambda_4^2)e^{-\lambda_2 r}], \\
\widehat{T}_{ij}^s &= \left[ \left( \left( K - \frac{2}{3}\mu \right) \widehat{U}_{kj,k}^s + \alpha s \widehat{P}_j^s \right) \delta_{il} + \mu (\widehat{U}_{ij,l}^s + \widehat{U}_{ij,i}^s) \right] n_l, \\
\widehat{Q}_j^s &= \kappa \widehat{P}_{j,i}^s n_i, \\
\widehat{T}_i^f &= \left[ \left( \left( K - \frac{2}{3}\mu \right) \widehat{U}_{k,k}^f + \alpha s \widehat{P}^f \right) \delta_{il} + \mu (\widehat{U}_{i,l}^f + \widehat{U}_{i,i}^f) \right] n_l, \\
\widehat{Q}_i^f &= \kappa \widehat{P}_i^f n_i, \\
\widetilde{U}_{kj,k}^s \delta_{il} n_l &= \\
&= \frac{r_j n_i}{4\pi r s^2 \rho (\lambda_1^2 - \lambda_2^2)} \left[ e^{-\lambda_1 r} \left( \frac{1}{r} + \lambda_1 \right) \lambda_1^2 (\lambda_2^2 - \lambda_4^2) - e^{-\lambda_2 r} \left( \frac{1}{r} + \lambda_2 \right) \lambda_2^2 (\lambda_1^2 - \lambda_4^2) \right], \\
&(\widehat{U}_{ij,l}^s + \widehat{U}_{ij,i}^s) n_l = \\
&= \frac{1}{4\pi r s^2 \rho} \left[ \frac{R_5}{r^3} \left( \frac{\lambda_4^2 - \lambda_2^2}{\lambda_1^2 - \lambda_2^2} e^{-\lambda_1 r} - \frac{\lambda_4^2 - \lambda_1^2}{\lambda_1^2 - \lambda_2^2} e^{-\lambda_2 r} - e^{-\lambda_3 r} \right) + \right. \\
&+ \frac{R_5}{r^2} \left( \frac{\lambda_4^2 - \lambda_2^2}{\lambda_1^2 - \lambda_2^2} \lambda_1 e^{-\lambda_1 r} - \frac{\lambda_4^2 - \lambda_1^2}{\lambda_1^2 - \lambda_2^2} \lambda_2 e^{-\lambda_2 r} - \lambda_3 e^{-\lambda_3 r} \right) + \\
&+ \frac{R_6}{r} \left( \frac{\lambda_4^2 - \lambda_2^2}{\lambda_1^2 - \lambda_2^2} \lambda_1^2 e^{-\lambda_1 r} - \frac{\lambda_4^2 - \lambda_1^2}{\lambda_1^2 - \lambda_2^2} \lambda_2^2 e^{-\lambda_2 r} - \lambda_3^2 e^{-\lambda_3 r} \right) - \\
&- 2r_{,n} r_{,i} r_{,j} \left( \frac{\lambda_4^2 - \lambda_2^2}{\lambda_1^2 - \lambda_2^2} \lambda_1^3 e^{-\lambda_1 r} - \frac{\lambda_4^2 - \lambda_1^2}{\lambda_1^2 - \lambda_2^2} \lambda_2^3 e^{-\lambda_2 r} - \lambda_3^3 e^{-\lambda_3 r} \right) - \\
&\left. - \lambda_3^2 (\delta_{ij} r_{,n} + r_{,i} n_j) \left( \lambda_3 + \frac{1}{r} \right) e^{-\lambda_3 r} \right],
\end{aligned}$$

причем  $R_5 = r_{,j} n_i + r_{,i} n_j + r_{,n} (\delta_{ij} - 5r_{,i} r_{,j})$ , а  $R_6 = r_{,j} n_i + r_{,i} n_j + r_{,n} (\delta_{ij} - 6r_{,i} r_{,j})$ ,

$$\begin{aligned}
\widehat{Q}_j^s &= \frac{\alpha n_i}{4\pi r (K + 4/3\mu) (\lambda_1^2 - \lambda_2^2)} \left[ R_2 e^{-\lambda_2 r} - R_1 e^{-\lambda_1 r} \right], \\
\widehat{T}_i^f &= \frac{1}{4\pi r \kappa (\lambda_1^2 - \lambda_2^2)} \left[ \frac{n_j s (\alpha - s\rho_f \kappa) 2\mu}{K + 4/3\mu} (R_2 e^{-\lambda_2 r} - R_1 e^{-\lambda_1 r}) + \right. \\
&\left. + n_i e^{-\lambda_2 r} \left( \frac{s(\alpha - s\rho_f \kappa)(K - 2/3\mu)}{K + 4/3\mu} \lambda_2^2 - \alpha s (\lambda_2^2 - \lambda_4^2) \right) \right]
\end{aligned}$$

$$-n_i e^{-\lambda_1 r} \left( \frac{s(\alpha - s\rho_f \kappa)(K - 2/3\mu)}{K + 4/3\mu} \lambda_1^2 - \alpha s(\lambda_1^2 - \lambda_4^2) \right) \Bigg],$$

$$\widehat{Q}^f = \frac{r_n}{4\pi r(\lambda_1^2 - \lambda_2^2)} \left[ \left( \lambda_2 + \frac{1}{r} \right) (\lambda_2^2 - \lambda_4^2) e^{-\lambda_2 r} - \left( \lambda_1 + \frac{1}{r} \right) (\lambda_1^2 - \lambda_4^2) e^{-\lambda_1 r} \right].$$

Ядра ГИУ допускают следующее выделение особенностей:

$$\begin{aligned} \widehat{P}_i^s &= O(r^0), \\ \widehat{U}_i^f &= O(r^0), \\ \widehat{U}_{ij}^s &= \frac{1+\nu}{8\pi E(1-\nu)} \{r_{,i} r_{,j} + \delta_{ij}(3-4\nu)\} \frac{1}{r} + O(r^0), \\ \widehat{P}^f &= \frac{\rho_f p}{4\pi\beta} \frac{1}{r} + O(r^0), \\ \widehat{Q}_j^s &= \frac{1+\nu}{8\pi E(1-\nu)} \{ \alpha(1-2\nu)(r_{,n} r_{,j} - n_j) - 2\beta(1-\nu)(r_{,n} r_{,j} + n_j) \} \frac{1}{r} + O(r^0), \\ \widehat{T}_i^f &= \frac{\rho_f p^2}{8\pi\beta} \left\{ (\alpha - \beta) \frac{1-2\nu}{1-\nu} r_{,i} r_{,j} + n_i \frac{\alpha + \beta(1-2\nu)}{1-\nu} \right\} \frac{1}{r} + O(r^0), \\ \widehat{T}_{ij}^s &= \frac{-[(1-2\nu)\delta_{ij} + 3r_{,i} r_{,j}]r_{,n} + (1-2\nu)(r_{,j} n_i - r_{,i} n_j)}{8\pi(1-\nu)r^2} + O(r^0), \\ \widehat{Q}^f &= -\frac{r_n}{4\pi r^2} + O(r^0). \end{aligned}$$

Итоговая система ГИУ примет вид:

$$\begin{aligned} \begin{bmatrix} c_{ij}(y) & 0 \\ 0 & c(y) \end{bmatrix} \begin{bmatrix} u_i(\tau, x) \\ p(\tau, x) \end{bmatrix} + \int_0^t \int_{\Gamma} \begin{bmatrix} T_{ij}^s(t-\tau, y, x) & Q_j^s(t-\tau, y, x) \\ T_i^f(t-\tau, y, x) & Q^f(t-\tau, y, x) \end{bmatrix} \begin{bmatrix} u_i(\tau, x) \\ p(\tau, x) \end{bmatrix} d\Gamma d\tau = \\ = \int_0^t \int_{\Gamma} \begin{bmatrix} U_{ij}^s(t-\tau, y, x) & -P_j^s(t-\tau, y, x) \\ U_i^f(t-\tau, y, x) & -P^f(t-\tau, y, x) \end{bmatrix} \begin{bmatrix} t_i(\tau, x) \\ q(\tau, x) \end{bmatrix} d\Gamma d\tau. \end{aligned}$$

### 3. Гранично-элементная дискретизация

Чтобы ввести ГЭ-дискретизацию, рассмотрим регуляризованное уравнение:

$$\alpha_{\Omega} \nu_k(x) + \int_{\partial\Omega} \{ \widehat{T}_{ik}(x, y, p) \nu_i(y) - T_{ik}^0(x, y) - \nu_i(x) - G_{ik}(x, y, p) \widehat{t}_i(y) \} dS_x = 0, \quad (1)$$

$$x \in \partial\Omega, \quad \widehat{t} = [t, q]^T.$$

Базовый процесс ГЭ-дискретизации состоит в разбиении поверхности  $\partial\Omega$  на  $N_E$  граничных элементов  $E_e$  ( $1 \leq e \leq N_E$ ) совокупностью четырехугольных и треугольных восьмиузловых биквадратичных элементов. При этом треугольные элементы рассматриваются как вырожденные четырехугольные (рис. 1,а), каждый из которых

отображается на контрольный элемент  $\Delta_e$  (каждый  $\Delta_e$  – это либо квадрат  $\xi = (\xi_1, \xi_2) \in [-1, 1]^2$ , либо треугольник  $0 \leq \xi_1 + \xi_2 \leq 1, \xi_1 \geq 0, \xi_2 \geq 0$ , рис. 1, б).

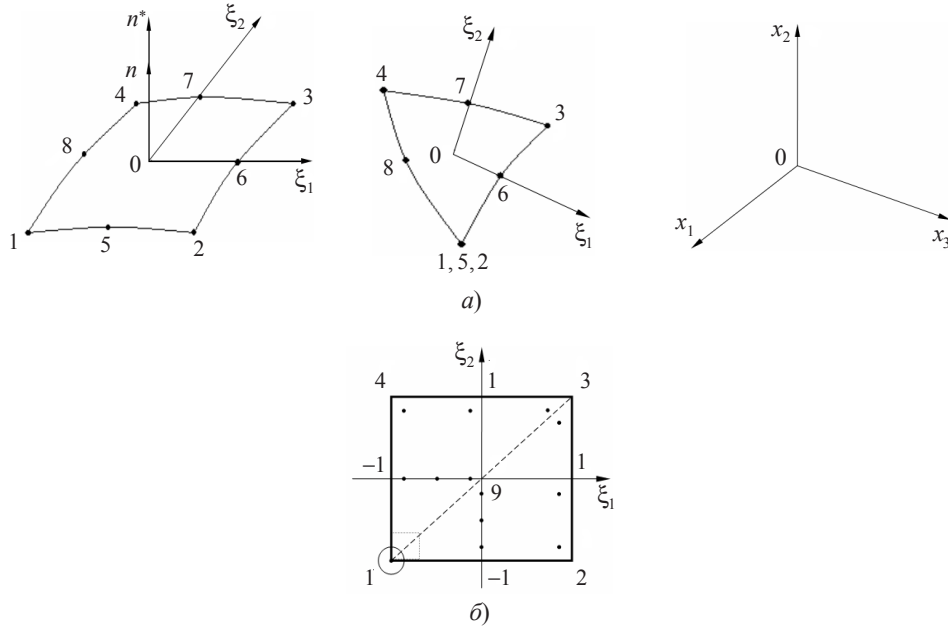


Рис. 1

Элемент  $E_e$  отображается на элемент  $\Delta_e$  с помощью уравнения:

$$y_i(\xi) = \sum_{l=1}^8 N^l(\xi) y_i^{\beta(k,l)}, \quad i = 1, 2, 3, \quad \xi \in \Delta_e, \quad (2)$$

где  $\beta(k, l)$  – глобальный номер узла, имеющего в  $k$ -м элементе локальный номер  $l$ ;  $N^l(\xi)$  – функции формы. В качестве функций формы выбраны квадратичные полиномы интерполяции.

Естественный базис  $(a_1, a_2)$ , метрический тензор  $g$  и единичная нормаль  $n$  на  $E_e$  запишутся как

$$a_\alpha(\xi) = \sum_{q=1}^N N_\alpha^q(\xi) x^q, \quad g_{\alpha\beta}(\xi) = a_\alpha(\xi) \cdot a_\beta(\xi),$$

$$J(\xi)n(\xi) = a_1 \wedge a_2, \quad J^2(\xi) = (g_{11}g_{22} - g_{12}^2)(\xi), \quad (3)$$

$$\xi \in \Delta_e; \quad \alpha, \beta = 1, 2.$$

Неизвестные граничные поля  $(v, \hat{t})$  также интегрируются через узловые значения  $v^k = v(z^k)$  и  $\hat{t}^k = \hat{t}(z^k)$  в интерполяционных узлах  $z^k$ . Множество интерполяционных узлов отличается от множества геометрических узлов, а множество интерполяционных функций не совпадает с множеством функций формы. Рассмотрим случай, называемый согласованным интерполированием (Р.В. Гольдштейн (1978)), где для аппроксимации граничных перемещений применим билинейные элементы, а для аппроксимации поверхностных сил – постоянные элементы. При этом для расчетного значения параметра  $p$  будем иметь следующие выражения граничных перемещений и поверхностных сил внутри элемента  $S_k$ :

$$v_i(y) = \sum_{l=1}^4 R^l(\xi) v_i^{\chi(k,l)}, \quad i = 1, 2, 3; \quad y \in S_k,$$

$$\hat{t}_i(y) = \hat{t}_i^{\chi(k,l)}, \quad i = 1, 2, 3; \quad y \in S_k.$$

Здесь  $R^l(\xi)$  – функции формы для линейного четырехугольного элемента.

Для получения дискретного аналога ГИУ применим метод коллокации. В качестве узлов коллокации  $y^m$  будем выбирать узлы аппроксимации исходных граничных функций. В итоге формируется система линейных алгебраических уравнений:

$$\frac{1 - \alpha_\Omega}{2} v_i^m + \sum_{k=1}^N \sum_{l=1}^4 A_{ij}^{m,k,l} v_j^{\chi(k,l)} = \sum_{k=1}^N B_{ij}^{m,k} \tilde{t}_j^k, \quad (4)$$

$$\frac{1 - \alpha_\Omega}{8} v_i^m + \sum_{k=1}^N \sum_{l=1}^4 A_{ij}^{m,k,l} v_j^{\chi(k,l)} = \sum_{k=1}^N B_{ij}^{m,k} \tilde{t}_j^k, \quad (5)$$

где  $N$  – число элементов границы.

Уравнения (4) записаны в узлах аппроксимации обобщенных перемещений, уравнения (5) – в узлах аппроксимации обобщенных усилий:

$$A_{ij}^{m,k,l} = \int_{-1}^1 \int_{-1}^1 [R^l(\xi) T_{ij}(x^m, y^k(\xi), \delta) - \delta_{\chi(k,l),m} T_{ij}^0(x^m, y^k(\xi))] J^k(\xi) d\xi_1 d\xi_2,$$

$$B_{ij}^{m,k} = \int_{-1}^1 \int_{-1}^1 U_{ij}(x^m, y^k(\xi), \delta) J_k(\xi) d\xi_1 d\xi_2.$$

Необходимо отметить, что коэффициенты дискретных аналогов имеют особенность типа  $1/r$  и  $1/r^2$ . Это определяет специфику вычислительного процесса. При вычислении интегралов по поверхности рассматриваются два случая. Первый случай – точка  $x^m$  не принадлежит элементу. Интегрирование по элементу сведено к повторному интегрированию по локальным координатам  $\xi_1$  и  $\xi_2$ . По каждой из координат используются квадратурные формулы Гаусса. Второй случай – точка  $x^m$  принадлежит элементу, по которому производится интегрирование, тогда используется прием устранения особенностей.

#### 4. Численные результаты

Рассмотрена задача, изображенная на рис. 2, со следующими параметрами материала:  $K = 8 \cdot 10^9$  Н/м<sup>2</sup>,  $G = 6 \cdot 10^9$  Н/м<sup>2</sup>,  $R = 4,7 \cdot 10^8$  Н/м<sup>2</sup>,  $k = 1,9 \cdot 10^{-10}$  м<sup>4</sup>/Н·с,  $\rho = 2458$  кг/м<sup>3</sup>,  $\rho_f = 1000$  кг/м<sup>3</sup>,  $\phi = 0,19$ ,  $\alpha = 0,867$ . Нагрузка, действующая на тело,  $t_y = -1$  Н/м<sup>2</sup>.

Граничные условия в области Лапласа имеют вид:

$$\hat{u}_y(y=0) = 0, \quad \hat{q}_y(y=0) = 0,$$

$$\hat{\sigma}_y(y=l) = -1, \quad \hat{p}(y=l) = 0.$$

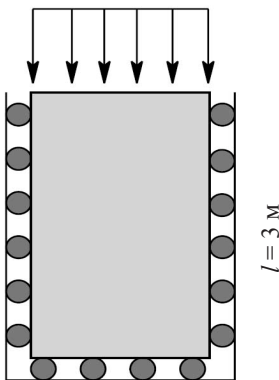


Рис. 2

Гранично-элементная сетка, изображенная на рис. 3, состоит из 504 элементов. Результаты расчетов перемещений и напряжений приведены соответственно на рис. 4 и 5.

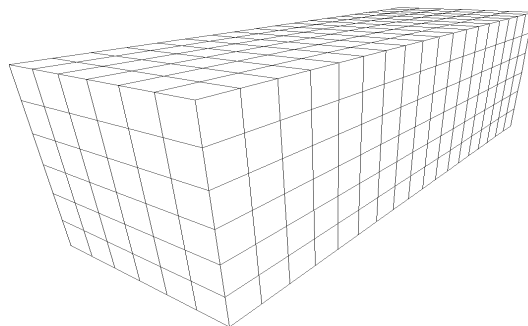


Рис. 3

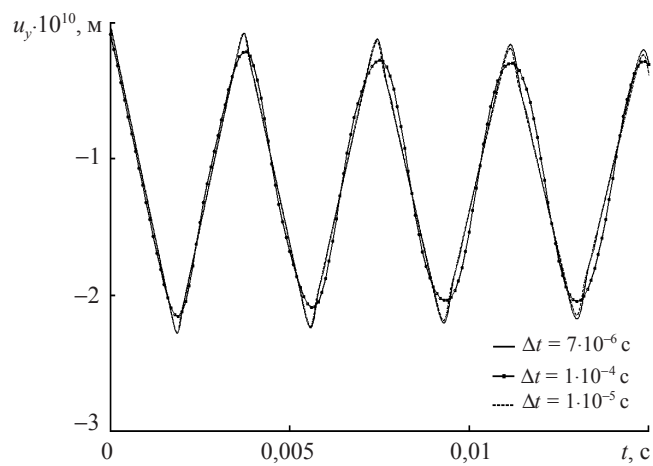


Рис. 4

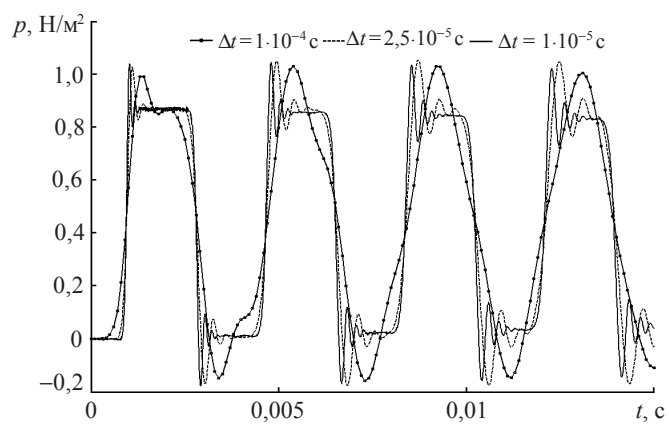


Рис. 5

**Ключевые слова:** распространение волн в пористых средах, модель Био, граничные интегральные уравнения, метод граничных элементов.

*Литература*

1. Френкель, Я.И. К теории сейсмических и сейсмоэлектрических явлений во влажной почве / Я.И. Френкель // Изв. АН СССР. Сер. географ. и геоф. – 1944. – Т. 8, № 4. – С. 65–78.
2. Biot, M. Theory of propagation of elastic waves in a fluid-saturated porous solid. I. Low-frequency range / M. Biot // J. Acoust. Soc. Am. – 1956. – V. 28, № 2. – P. 168–178.
3. Biot, M. Theory of propagation of elastic waves in a fluid-saturated porous solid. II. Higher-frequency range / M. Biot // J. Acoust. Soc. Am. – 1956. – V. 28, № 2. – P. 179–191.
4. Николаевский, В.Н. Геомеханика и флюидодинамика с приложениями к проблемам газовых и нефтяных пластов / В.Н. Николаевский. – М.: Недра, 1996. – 447 с.
5. Proc. of the 2-nd Biot conference on poromechanics. – Grenoble, France, 26–28 Aug. 2002. – 650 p.
6. Михайлов, Д.Н. Различие продольных волн Френкеля–Био в водонасыщенной и газонасыщенной пористых средах / Д.Н. Михайлов // МЖГ. – 2006. – № 1. – С. 121–130.
7. Дунин, С.З. Продольные волны в частично насыщенных пористых средах. Влияние газовых пузырьков / С.З. Дунин, Д.Н. Михайлов, В.Н. Николаевский // ПММ. – 2006. – Т. 70. – Вып. 2. – С. 282–294.
8. Schanz, M. Wave propagation in viscoelastic and poroelastic continua / M. Schanz. – Berlin Springer, 2001. – 170 p.
9. Schanz, M. Wave propagation in a simplified modelled poroelastic continuum: Fundamental solutions and a time domain boundary element formulation / M. Schanz, V. Struckmeier // Int. J. Numer. Meth. Engng. – 2005. – V. 64. – P. 1816–1839.

[10.09.2008]

**EXTENDING THE BOUNDARY ELEMENT METHOD  
ON ANALYZING THE PROBLEM OF WAVES PROPAGATING  
IN POROUS MEDIA**

**A.V. Amenitsky, L.A. Igumnov, I.S. Karelin**

A model of a porous medium with a two-phase internal structure introduced by Bio is discussed. The related integral equations and a boundary element method for analyzing them are described. A numerical example is given.

**Key words:** waves propagating in porous media, Bio's model, boundary integral equations, boundary element method.